

تخمین پارامترهای طراحی ژئوتکنیکی خاک بهسازی شده به روش پیش‌بارگذاری با استفاده از نتایج ابزارگذاری و روش عددی- مطالعه موردی*

خسرو مهرشاهی^(۱)حمید علی الهی^(۲)

چکیده در این مقاله با استفاده از آنالیز برگشتی حاصل از نتایج ابزار دقیق و به کمک روش عددی، به برآوردهای پارامترهای تأثیرگذار در روند طراحی عملیات پیش‌بارگذاری با خاکریز به همراه زهکش‌های قائم (PVDs) پرداخته شده است. به عنوان مطالعه موردی، پرتوزنگار نفت ماهشهر واقع در بندر ماهشهر در نظر گرفته شده است. برای کنترل نتایج محاسبات و عملکرد مناسب خاکریزها از ابزارهای دقیق نظیر نشست‌سنج‌ها و پیزومترها که در تمامی نقاط خاکریز نصب شده‌اند، بهره گرفته شده است. نتایج نشان می‌دهد که پارامترهای آزمایشگاهی در نظر گرفته شده برای محاسبات اولیه نشست تحکیمی خاک کمتر از مقادیر واقعی اندازه‌گیری شده در نظر گرفته شده است. در نهایت مقادیر نشست تخمینی مخزن نفت مربوط در قبل و پس از بهسازی خاک مورد مقایسه قرار گرفته است که نتیجه حاصل حاکی از عملکرد مناسب عملیات پیش‌بارگذاری خاک در پرتوزنگار حاضر می‌باشد.

واژه‌های کلیدی پیش‌بارگذاری، زهکش‌های شعاعی، نشست تحکیمی، زمان تحکیم، روش عددی.

Estimating the Geotechnical Design Parameters of Improved Soil by Preloading Method Using Instrumentation Results and Numerical Approach- a Case Study

Kh. Mehrshahi

H. Alielahi

Abstract In his paper, back-analysis using results from instrumentation by finite element software for design of preloading method by embankment with prefabricated vertical drains (PVDs) was used, and the results were compared with each other. Hence, the basic geotechnical parameters obtained by laboratory and field experiments have been modified using this method. In this regard, the Mahshahr oil storage project has been used as a case study. All of the methods that are used for improving soil must ultimately result in increased soil resistance parameters, reduced compressibility, and reduced soil permeability. The soil improvement technique using preloading was used in Mahshahr where there are soft soil layers beneath higher than sub-surface water. control performance of the embankments, some instruments such as Settlement Plates and Piezometers have been used. The results obtained from the analysis shows that settlement parameters obtained from the instruments data by back-analysis were less than primary consolidation settlement parameters based on laboratory tests. Finally, soil settlement estimation of the oil tank was compared before and after preloading, and it was found that using this method for soil improvement can be very efficient in the current project.

Key Words Preloading Method, Radial Drains, Consolidation Settlement, Numerical Approach.

*تاریخ دریافت مقاله ۹۴/۹/۲۱ تاریخ پذیرش آن ۹۵/۹/۹ می‌باشد.

(۱) کارشناس ارشد ژئوتکنیک، گروه مهندسی عمران، واحد زنجان، دانشگاه آزاد اسلامی، زنجان، ایران.

(۲) نویسنده مسئول، استادیار، گروه مهندسی عمران، واحد زنجان، دانشگاه آزاد اسلامی، زنجان، ایران. Email: h.alielahi@iauz.ac.ir

پذیرش بار جدید خاک را افزایش می‌دهند [۲ و ۱]. امروزه مطالعات متعددی بر روی این روش بهمنظور بهسازی خاک نرم انجام پذیرفته است که از نمونه‌های موفق پیش‌بارگذاری بالاستفاده از زهکش‌های شعاعی پیش‌ساخته در پروژه‌های بهسازی خاک می‌توان به مطالعات بوشان و همکاران [۳] اشاره کرد. پروژه موردنظر اینبار ذخیره مایعات در کشور اندونزی به مساحت 2530 m^2 مترمربع بر روی لایه‌ای به ضخامت ۳ الی ۸ متر رس نرم تراکم‌پذیر واقع شده است که با خاکریزی معادل ۱۰ الی ۱۳ متر ارتفاع و با بهکارگیری زهکش‌های نواری نشستی معادل ۶۰ الی ۱۷۰ سانتی‌متر به‌وقوع پیوسته است. ایندراراتنا و ردانا [۴] بیان نموند که عملیات پیش‌بارگذاری با نصب زهکش‌های نواری، اثر ناحیه بهم‌خوردۀ (Smear Zone) اطراف زهکش‌های شعاعی در مدت زمان کم (چند ده روز) قابل توجه است ولی در مدت زمان زیاد (۴۰۰ روز) اثری نداشته است. همچنین ایندراراتنا و همکاران [۵] مطالعات تحلیلی و عددی بر روی تحکیم خاک رس نرم انجام دادند و متوجه شدند که کاهش درجه اشباع خاک اطراف مندلر (Mandrel) یا هادی زهکش شعاعی در موقع نصب می‌تواند در مرحله اولیۀ تحکیم موجب کاهش سرعت محواضافه‌فشار آب حفره‌ای شود.

ساتananan و ایندراراتنا [۶]، ویژگی منطقه دست‌خوردۀ اطراف زهکش ایجاد شده توسط مندلر زهکش‌های شعاعی پیش‌ساخته را مورد بررسی قرار دادند و دریافتند که وسعت ناحیه دست‌خوردۀ اطراف زهکش در خاک‌های رسی مرویا (Moruya) حدوداً ۲/۵ برابر شعاع معادل زهکش می‌باشد. به‌هرحال وسعت ناحیه دست‌خوردۀ به‌علت شکل زهکش، سرعت نصب زهکش و همچنین سختی خاک می‌تواند قبل تغییر باشد.

مقدمه

در پروژه‌های مهندسی پیش از احداث سازه‌ها بر روی خاک‌های نرم و تحکیم‌پذیر بهمنظور جلوگیری از نشسته‌های بزرگ و غیریکنواخت سازه موردنظر، اصلاح و بهبود این خاک‌ها اجتناب‌ناپذیر می‌باشد. تمامی روش‌های اصلاح خاک در انها باید منجر به افزایش پارامترهای مقاومتی، کاهش تراکم‌پذیری و کاهش تراوایی خاک شوند. در این راستا، امروزه پیش‌بارگذاری به عنوان یکی از روش‌های سنتی و متداول بهمنظور بهسازی خاک‌های نرم نشست‌پذیر با توجه به سهولت در اجرا و نیز اقتصادی بودن آن، مورداستفاده فراوانی دارد [۱]. اصول اساسی این روش مبتنی بر کاهش تخلخل خاک‌ها در اثر تحکیم و محرومی اضافه‌فشار آب در خاک‌های ریزدانه در اثر اعمال بار در سطح زمین در یک بازه زمانی مشخص و سپس باربرداری آن و ساخت سازه دائمی است. از جمله مزایای این روش سادگی در اجرا، کنترل و اندازه‌گیری میزان نشست زمین و در بعضی موارد میزان فشارهای آب منفذی بالاستفاده از ابزارگذاری و بررسی رفتار و عملکرد این روش در حین اجرا می‌باشد. همچنین این روش بالاستفاده از زهکش شعاعی بهمنظور افزایش سرعت نشست تحکیمی به دو شکل استفاده از خاکریز و یا مکش و همچنین ترکیب آنها با یکدیگر قابل انجام است [۲].

به‌طور کلی خاک‌های رسی نرم به‌علت تراوایی کم به زمان زیادی برای نشست تحکیمی نیاز دارند. برای افزایش سرعت تحکیم در این خاک‌ها زهکش‌های شعاعی پیش‌ساخته (Prefabricated Vertical Drains) در خاک نصب می‌شوند. زهکش‌های شعاعی با کوتاه کردن مسیر زهکشی موجب افزایش سرعت فرآیند تحکیم می‌شوند که این عمل به نوبه خود سبب افزایش مقاومت خاک رس به صورت سریع می‌گردد و توانایی

زهکش‌های شعاعی پیش‌ساخته در مقایسه با حالت بدون زهکش دو برابر افزایش یافته است. همچنین ایشان متوجه شدند که میزان نشت در اعمق سطحی خاک بسیار بیشتر از میزان نشت در اعمق زیاد خاک می‌باشد.

برگادو و همکاران [11] زهکش‌های پیش‌ساخته معمولی را با زهکش‌های پیش‌ساخته مکش‌شونده موردمقایسه قرار دادند و دریافتند که زهکش‌های پیش‌ساخته مکش‌شونده در حدود $1/7$ تا $1/8$ برابر زهکش‌های معمولی سرعت نشت را افزایش می‌دهند. همچنین با استفاده از این زهکش‌ها می‌توان دست-خوردگی کمتری در خاک اطراف زهکش ایجاد نمود. از جمله آخرین مطالعات انجام شده در سال ۲۰۱۵، جیا لام [12] به بررسی عملکرد پروژه بهسازی خاک در رس بانکوک (Bangkok) با استفاده از ترکیب دو روش پیش‌بارگذاری با خاکریز و مکش به همراه زهکش‌های پیش‌ساخته (PWD) پرداختند. در این تحقیق با استفاده از دو روش تحلیلی و عددی پارامترهای دخیل در مسئله در مقایسه با نتایج اندازه‌گیری شده ابزار دقیق را برآورد نمودند.

با مرور ادبیات فنی مشاهده می‌شود که تمرکز اکثر مطالعات انجام شده بر عملکرد و کارایی زهکش‌ها در پروژه‌های پیش‌بارگذاری با خاکریز می‌باشد. از این‌رو استخراج پارامترهای اصلاح شده با مدل‌سازی‌های عددی با استفاده از آنالیز معکوس به کمک ابزار دقیق به ندرت موردنظر قرار گرفته است. همچنین در زمینه پیش‌بینی مقادیر نشت مخازن نفت پس از اتمام عملیات پیش‌بارگذاری مبتنی بر پارامترهای اصلاح شده که می‌تواند در ادامه روند طراحی و اجرایی پروژه کمک شایانی داشته باشد، مطالعات محدودی انجام شده است؛ لذا در این مقاله به بررسی عملکرد بهسازی خاک با استفاده از روش پیش‌بارگذاری با خاکریز به همراه زهکش‌های شعاعی پیش‌ساخته (PWD) در پروژه ابزار نفت ماشهر به عنوان مطالعه موردنی پرداخته شده است.

سائوپاکپیون و ایندراراتنا [7] تأثیر پیش‌بارگذاری به روش ایجاد مکش در تسريع عمل تحکیم رس نرم بانکوک با استفاده از PVD در مقایسه با نتایج متناظر این آزمایش بدون پیش‌بارگذاری مکش را ارائه نمودند. از پروژه‌های موفق دیگر می‌توان به تحقیقات روچیکیاتکامجرن و همکاران [8] اشاره نمود. ایشان با استفاده از نرم‌افزار اجزای محدود آباکوس (ABAQUS) و با استفاده از مدل رفتاری کم-کلی اصلاح شده (Modified Cam-Clay) به مدل‌سازی انبار ذخیره مایعات در بندر تیانجین (Tianjin) در کشور چین پرداختند. ویژگی ژئوتکنیکی خاک این منطقه تا عمق ۱۵ متری از خاک بسیار نرم تحکیم‌پذیر تشکیل یافته و برای بهسازی خاک با روش پیش‌بارگذاری به سرباری معادل ۱۴۰ کیلو پاسکال نیاز بوده است. ایشان با ترکیب پیش‌بارگذاری از نوع خاکریز و مکش، مشکل ارتفاع زیاد خاکریز را حل نمودند و با مقایسه نتایج ابزار دقیق و پیش‌بینی‌های انجام شده به این نتیجه رسیدند که استفاده از ترکیب خاکریز و مکش به طور همزمان می‌تواند تأثیر بسزایی در کوتاه نمودن زمان پیش‌بارگذاری و همچنین کاهش ارتفاع خاکریز و جابه-جایی جانبی خاک داشته باشد.

دار و همکاران [9]، روند پیش‌بارگذاری بندر چیتاگونگ (Chittagong Sea Port) در کشور بنگلادش را موردمطالعه قرار دادند. آنها دریافتند که نسبت ضریب تحکیم شعاعی به قائم (C_h/C_v) عددی معادل $1/53$ و همچنین نسبت ضریب افقی به قائم تراوایی خاک (K_h/K_v)، $2/07$ خواهد بود. تدجاکوسوما [10] با استفاده از سیستم پیش‌بارگذاری و زهکش‌های شعاعی به بررسی خاک‌های نرم و رسی منطقه سورابایا (Surabaya) در کشور اندونزی پرداختند. ایشان در این تحقیق به این نتیجه رسیدند که استفاده از پیش‌بارگذاری در بهسازی خاک این منطقه بسیار مؤثر بوده است و در مدت زمانی حدود ۲۸۰ روز میزان نشت با استفاده از

قرار گرفته است.



شکل ۱ نقشه جانمایی مخازن پروژه انبار نفت ماهشهر



شکل ۲ نمایی از خاکریز EM-2B

به منظور بهسازی خاک مخزن مذکور از خاکریز EM-2B به مساحتی معادل ۹۵۰۰ مترمربع مطابق شکل (۲) استفاده شده است. فاصله زهکش‌های شعاعی ۱/۵ متر و طول هر زهکش ۲۵ متر در نظر گرفته شده است. زهکش‌های شعاعی (PWD) از نوع نواری (Colbonddrain CX1000) [2] به ابعاد ۱۰ در ۰/۳۶ سانتی متر بوده است که این زهکش‌ها مطابق شکل (۳) به صورت آرایش مثلثی در محل نصب شده‌اند.

از این‌رو، با استفاده از آنالیز برگشتی نتایج حاصل از ابزار Plaxis دقیق و به کمک نرم‌افزار اجزای محدود 3D پارامترهای ژئوتکنیکی واقعی برآورد شده است و پارامترهای اولیه پیش‌بینی شده تأثیرگذار حاصل از آزمایش‌های آزمایشگاهی و صحرایی با استفاده از این روش تصحیح گردیده و برای ادامه روند طراحی و عملیات اجرایی پیشنهاد شده است. در اینجا نیز کارایی روش پیش‌بارگذاری با مقایسه نشستهای پیش‌بینی شده خاک نرم و نشستهای ناچیز قابل اغماض بعد از عملیات پیش‌بارگذاری در اثر احداث مخازن نفت، موردارزیابی قرار گرفته است.

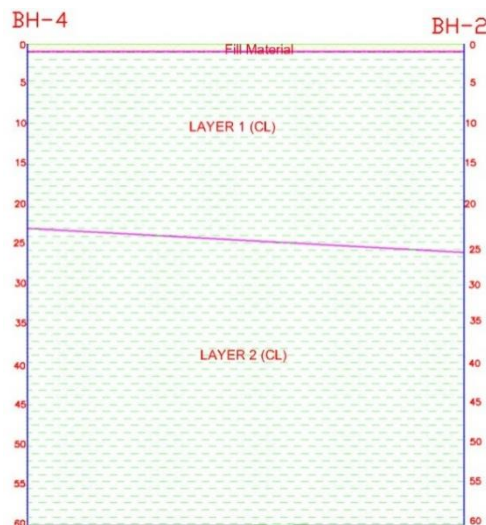
پروژه انبار نفت ماهشهر

معرفی پروژه

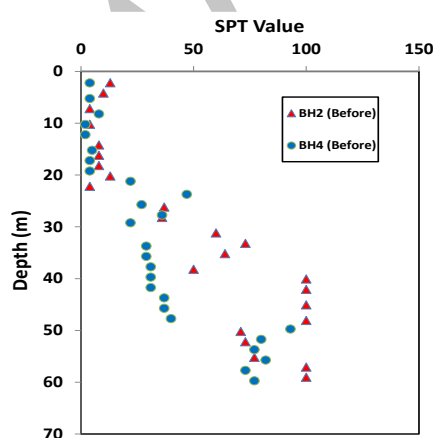
پروژه بندر ماهشهر در استان خوزستان و شهرستان ماهشهر با طول جغرافیایی ۴۹ درجه و ۱۳ دقیقه و عرض جغرافیایی ۳۰ درجه و ۳۳ دقیقه واقع شده است. ارتفاع ماهشهر از سطح دریا ۲/۶ متر و ارتفاع محل پروژه از سطح دریا ۱/۲ متر الی ۲/۲ متر می‌باشد. این پروژه شامل مخازن ذخیره سوخت و همچنین تأسیسات و ساختمان‌های مسکونی مجاور آنها می‌باشد که نقشه جانمایی پروژه در شکل (۱) ارائه شده است. مخزن ذخیره سوخت موردمطالعه در این تحقیق شامل مخازن 403 Tank (خاکریز EM-2B) با توجه به دردسترس بودن نتایج ابزار دقیق می‌باشد. با توجه به نوع لایه‌های خاک و شرایط زیرسطحی در محل پروژه و قرارگیری لایه‌های تحکیم‌پذیر در زیر مخازن یادشده، حجم بهسازی موردنیاز برای اصلاح خواص خاک به منظور جلوگیری از نشست و گسیختگی خاک در اثر بارهای ناشی از مخازن، بسیار زیاد است. همچنین با توجه به وسعت بالای منطقه موردنظر، استفاده از شالوده عمیق (شمع) و همچنین استفاده از روش‌های دیگر بهسازی خاک با توجه به نوع خاک، غیراقتصادی و زمان‌بر بوده است. لذا در این پروژه، گزینه بهسازی خاک به روش پیش‌بارگذاری با خاکریز به همراه نصب زهکش‌های شعاعی پیش‌ساخته (PWD) در دستور کار



شکل ۳ (الف) نمایی از اجرای زهکش‌های نواری در زیر خاکریزها، (ب) آرایش زهکش‌ها در پلان



شکل ۴ پروفیل ژئوتکنیکی در محل خاکریز EM-2B



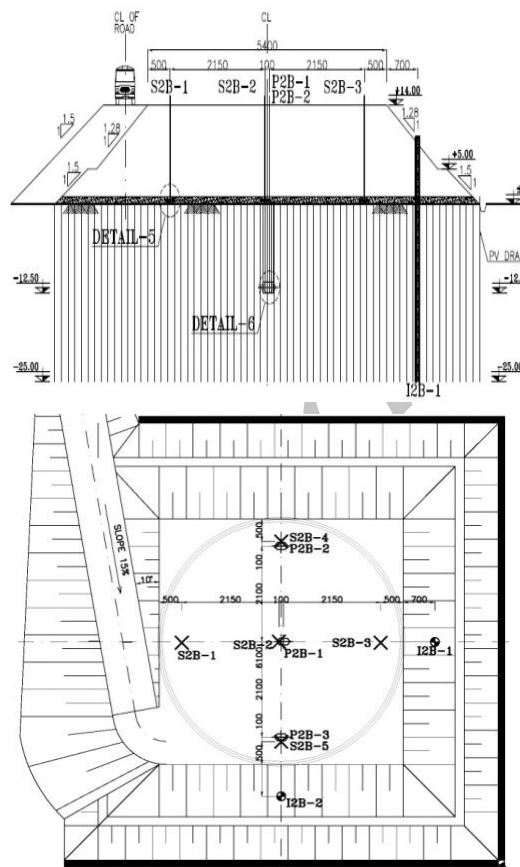
شکل ۵ اعداد SPT در محل خاکریز EM-2B

ویژگی‌های ژئوتکنیکی پروژه انبار نفت ماشهر با توجه به مطالعات ژئوتکنیکی انجام شده در محل خاکریز (EM-2B)، وضعیت لایه‌های خاک عمدتاً از جنس رس با خاصیت خمیری کم (CL) می‌باشد. برای این منظور از دو گمانه ۲ BH-2 و ۴ BH-4 به عمق ۶۰ متری به همراه آزمایش‌های صحرایی نظری SPT و CPTu استفاده شده است. پروفیل ژئوتکنیکی آن در شکل (۴) و اعداد SPT در شکل (۵) نشان داده شده است و همچنین مشخصات ژئوتکنیکی و لایه‌بندی خاک محل پروژه در جدول (۱) ارائه شده است. لازم به ذکر است که این پارامترها برای طراحی اولیه قبل از اجرای خاکریز و برآمدهای نتایج حاصل از آزمایش‌های صحرایی و آزمایشگاهی در گمانه‌ها پیشنهاد و استفاده شده است. همان‌طور که مشاهده می‌شود، به‌طور کلی پروفیل خاک متشکل از دو لایه اصلی به همراه زیرلایه‌های مربوط با ویژگی‌های متفاوت است که از عمق ۰ تا ۲۲ متر شامل رس نرم لای دار با خاصیت خمیری کم (CL-1) و از عمق ۲۲ متری تا عمق ۶۰ متری خاک از نوع رس نرم با خاصیت خمیری کم (CL-2) با ویژگی‌های متفاوت تشکیل شده است. با توجه به بارگذاری ناشی از ساخت مخازن، مشخصات خاک حاکی از نشست‌پذیری پروفیل لایه خاک داشته است.

جدول ۱ پارامترهای ژئوتکنیکی مربوط خاکریز EM-2B

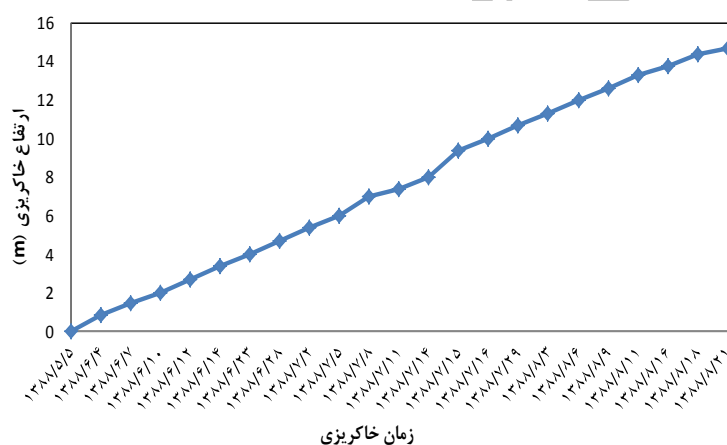
عمق لایه خاک (m)	نوع خاک	V (sat)	C_c	C_s	P_c (kPa)	γ_d (kN/m ³)	γ (kN/m ³)	γ_{sat} (kN/m ³)	K_h (m/day)	K_v (m/day)	K_h/K_v	e_0
0 – 10	(CL-1)	0.45	0.17	0.03	70	15.7	20.16	20.59	0.0086	0.0043	2	0.85
10 – 22	(CL-1-1)	0.45	0.17	0.03	180	15.7	20.16	20.59	0.0086	0.0043	2	0.85
22 – 38	(CL-2)	0.45	0.16	0.03	350	16.87	20.64	20.95	0.0026	0.0013	2	0.6
38 – 48	(CL-2-1)	0.45	0.16	0.03	450	16.87	20.64	20.95	0.0026	0.0013	2	0.6
48 – 60	(CL-2-2)	0.45	0.16	0.03	580	16.87	20.64	20.95	0.0026	0.0013	2	0.6

شکل (۱۰) قابل مشاهده است فشار آب حفره‌ای حاصل از پیزومترها در مرکز خاکریز EM-2B در پایان زمان خاکریزی به بیشترین مقدار خود رسیده است و با گذشت زمان انتظار، میزان فشار آب حفره‌ای به تدریج کاسته شده و فشار آب حفره‌ای به صفر رسیده است که این موضوع نشانگر پایان زمان تحکیم می‌باشد.

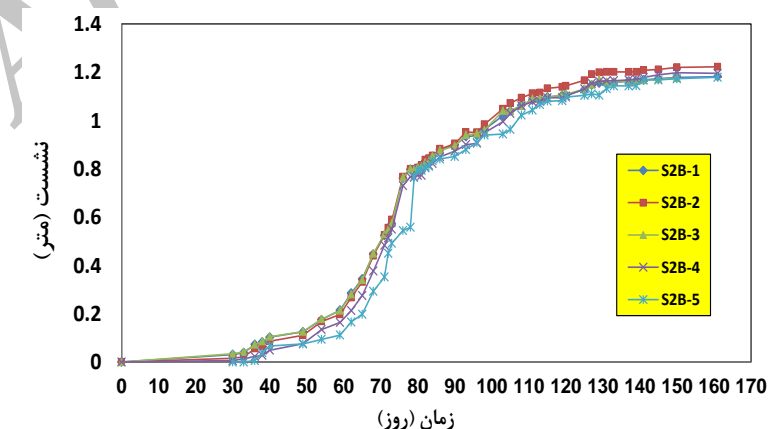




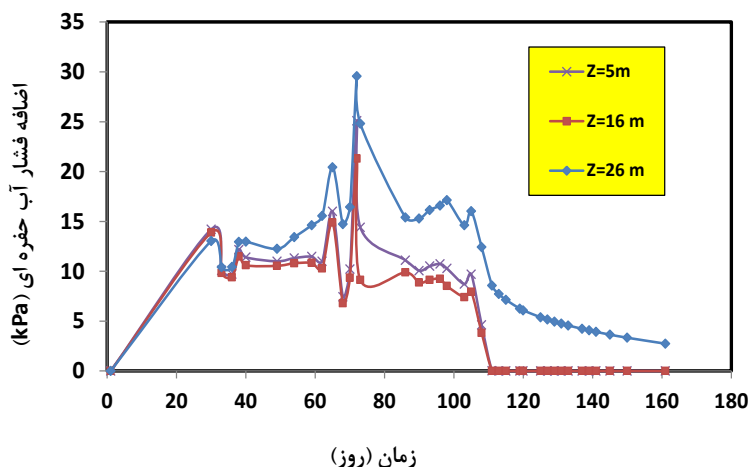
شکل ۷ (الف) بالای میله نشان دار متصل به صفحه نشست سنج، ب) لوله پیزومتر در بالای خاکریز



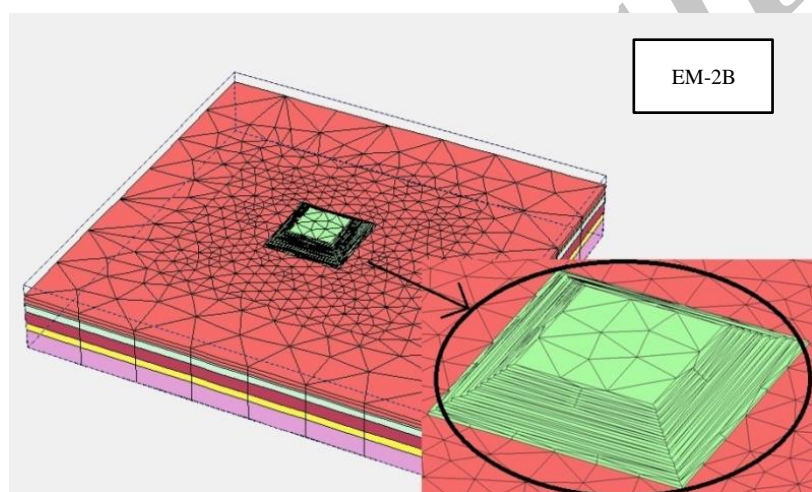
شکل ۸ نمودار تاریخچه خاکریزی خاکریز EM-2B



شکل ۹ مقادیر نشست اندازه‌گیری شده توسط صفحات نشست سنج در محل خاکریز EM-2B



شکل ۱۰ مقادیر فشار آب حفره‌ای اندازه‌گیری شده توسط پیزومترها در محل خاکریز EM-2B



شکل ۱۱ تصویر مدل‌سازی سه‌بعدی خاکریز EM-2B با استفاده از نرم‌افزار Plaxis 3D

لحاظ شده است. همچنین سطح آب زیرزمینی $1/5$ متر پایین‌تر از سطح زمین طبیعی بر طبق داده‌های ثبت شده در گمانه‌ها در نظر گرفته شده است. در شکل (۱۱) تصویر مدل عددی خاکریز EM-2B در نرم‌افزار Plaxis 3D نشان داده شده است.

به منظور مشبّه‌سازی مدل عددی از المان‌های ۱۵ گره‌ای مثلثی استفاده شده است. همچنین مدل رفتاری خاک از نوع مدل نرم - خرزش (Soft Soil) Creep انتخاب شده است [12].

با توجه به عدم در نظر گیری مدل‌سازی مستقیم

شبیه‌سازی عددی

به منظور مدل‌سازی عددی نشت تحکیمی خاک در اثر ساخت خاکریز مورد نظر از نرم‌افزار Plaxis 3D مبتنی بر روش اجزای محدود استفاده شده است. این نرم‌افزار برای محاسبات تحکیم از روابط بایوت [14] استفاده می‌نمایند.

فواصل مرزهای جانی در مدل عددی برای خاکریز EM-2B سه برابر عرض خاکریز در نرم‌افزار در نظر گرفته شده است. همچنین برای ارتفاع ناحیه ژئوتکنیکی قرار گرفته در زیر خاکریز متأثر از ایجاد خاکریز، ارتفاعی معادل ۶۰ متر بر مبنای عمق گمانه‌ها،

در این روابط k_{ve} نفوذپذیری معادل، k_v نفوذپذیری عمودی خاک، D_e قطر دایرهٔ معادل مربوط به تأثیر زهکش، k_h نفوذپذیری افقی خاک، L طول مؤثر زهکش، n نسبت قطر دایرهٔ معادل به قطر چاه زهکش، d_w قطر چاه زهکش، q_w ظرفیت تخلیهٔ زهکش، k_s نفوذپذیری افقی خاک S فاصلهٔ زهکش‌ها می‌باشد. همچنین $(k_h)_f$ نفوذپذیری افقی خاک محل، (k_h) نفوذپذیری افقی خاک آزمایشگاهی و C_f نسبت فاکتور دست‌خوردگی خاک است و S فاصلهٔ زهکش‌ها می‌باشد. همچنین $(k_h)_f = C_f (k_h)_1$ و $(k_h)_f = C_f (k_v)_1$ می‌باشد. نفوذپذیری افقی خاک محل به آزمایشگاه می‌باشد. لازم به ذکر است که ابعاد زهکش‌های شعاعی پیش‌ساخته (PVD) دارای ۱۰ سانتی‌متر طول و ۰۰۳۶ سانتی‌متر عرض با دبی خروجی ۱۴۰ میلی‌لیتر بر ثانیه می‌باشند که مشخصات کامل آنها در جدول (۳) ارائه شده است. در اشکال (۱۲) و (۱۳) به ترتیب مقادیر نشست و اضافه‌فشار آب حفره‌ای ناشی از ساخت مرحله‌ای خاکریز به صورت دوبعدی نشان داده شده است.

zechshs در این نرم‌افزار، از روش پیشنهاد چای و همکاران [15] استفاده شده است. در این روش پیشنهادی از نفوذپذیری معادل خاک به همراه زهکش‌های شعاعی استفاده می‌شود. از این روش نفوذپذیری معادل به عنوان نفوذپذیری محدوده‌ای از خاک که دارای زهکش می‌باشد به عنوان نفوذپذیری معادل به نرم‌افزار معرفی شده است. نفوذپذیری معادل شده به این روش و همچنین نسبت نفوذپذیری محل (حاصل از آنالیز برگشتی) به نفوذپذیری آزمایشگاه از روابط زیر قابل محاسبه می‌باشد. همچنین پارامترهای این روابط در جدول (۲) آورده شده است.

$$k_{ve} = \left(1 + \frac{2.5L^2}{\mu D_e^2}\right) \times \frac{k_h}{k_v} \quad (1)$$

$$\mu = \ln\left(\frac{n}{S}\right) + \frac{k_h}{k_s} \ln(S) - \frac{3}{4} + \frac{\pi 2 L^2 k_h}{3 q_w} \quad (2)$$

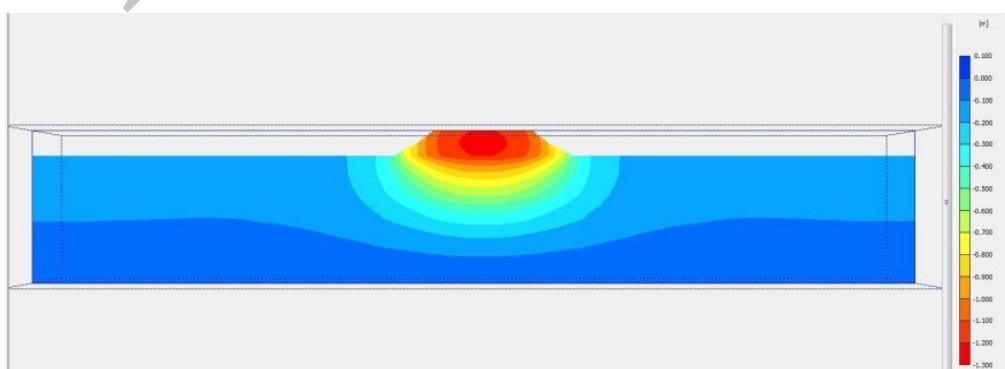
$$(k_h)_f = C_f (k_h)_1 \text{ or } (k_h)_f = C_f (k_v)_1 \quad (3)$$

جدول ۲ پارامترهای مورد نیاز برای تبدیل شرایط زهکشی با استفاده از روش چای و همکاران [13]

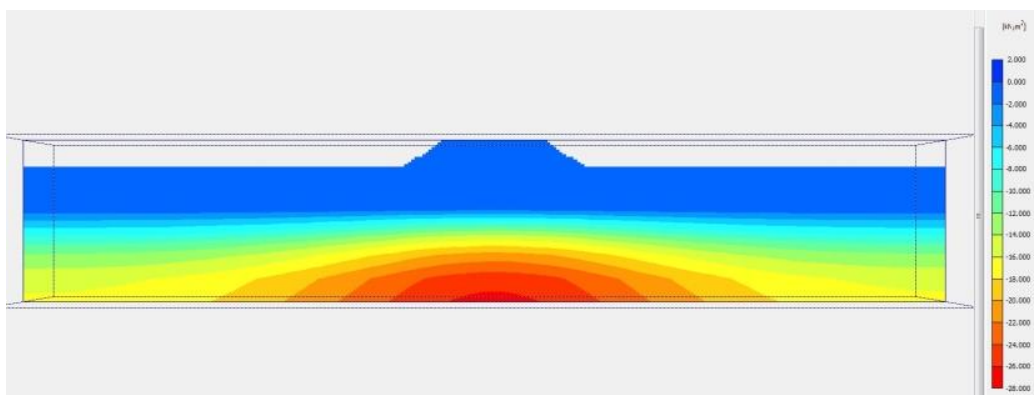
d_w (cm)	d_s (cm)	k_h/k_s	n	S	L (m)	q_w (m³/year)	μ	k_h/k_v	k_h (m/day)	K_v (m/day)	K_{ve} (m/day)
5.18	28.49	3	30.38	5.5	25	12.096	6.14	2	0.0086	0.0043	0.6880

جدول ۳ مشخصات زهکش‌های نواری [2] Colbonddrain Cx1000

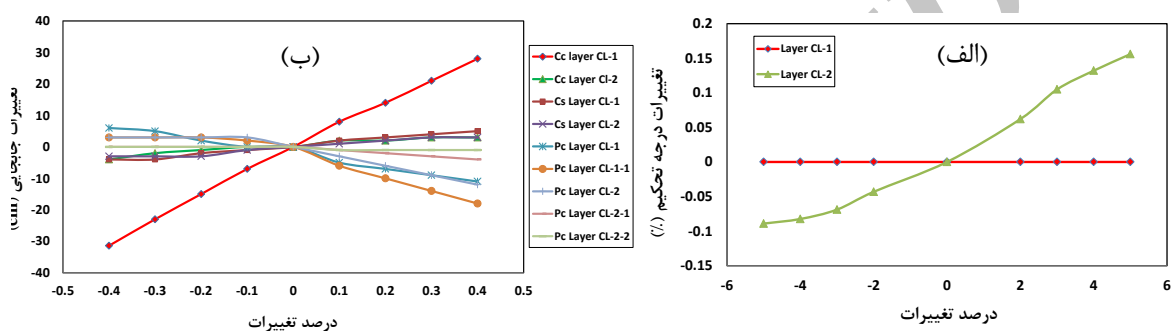
ازدیاد طول در نیروی کششی ۱٪ کیلونیوتون (%)	Opening size O_{90} (μm)	نفوذپذیری فیلتر k_f (mm/s)	ظرفیت تخلیه Discharge capacity q_w (ml/s)	عرض مقطع، a (mm)	طول مقطع، a (mm)
3%	75	70	140	3.6	100



شکل ۱۲ کانتور نشست در مرکز خاکریز EM-2B در نرم‌افزار Plaxis 3D



شکل ۱۳ کانتور اضافه‌فشار آب در مرکز خاکریز EM-2B در نرم‌افزار Plaxis 3D

شکل ۱۴ (الف) نمودار تحلیل حساسیت پارامتر نفوذپذیری درجهت افقی (K_h) در لایه‌های مختلف ژئوتکنیکی، ب) نمودار تحلیل حساسیت پارامترهای تحکیمی در لایه‌های مختلف ژئوتکنیکی (محل خاکریز EM-2B)

برای محاسبه مؤثرترین پارامتر در زمان نشست تحکیم (K_h -ضریب افقی تراوایی) مدلی با اطلاعات اولیه ایجاد شده و میزان درجه تحکیم به دست آمده ثبت شده است. سپس هر پارامتر به طور جداگانه آنقدر تغییر داده می شود تا با توجه به نتایج ابزار دقیق کمترین مقدار خطا حاصل شود. پس از آن، با جایگذاری هر پارامتر به دست آمده در مدل عددی، مجدداً شبیه‌سازی عددی با پارامتر موردنظر آماده تحلیل‌های بعدی شده است. به همین ترتیب تحلیل حساسیت برروی پارامترهای مؤثر در مقدار نشست تحکیمی (C_s , C_c , Pc) - به ترتیب فشار پیش‌تحکیمی، شبیه‌سازی منحنی تحکیم در بارگذاری (نشانه فشردگی) و بار برداری (انجام شده است). نتایج تحلیل حساسیت انجام شده با کمک مدل‌سازی عددی و نتایج ابزار دقیق در محل خاکریز EM-2B در شکل (۱۴) ارائه شده است. نتیجه به دست

تعیین پارامترهای تأثیرگذار خاک

در این بخش با استفاده از نتایج ابزار دقیق، به انجام آنالیز حساسیت برروی پارامترهای تحکیمی تأثیرگذار پروفیل خاک در عملیات پیش‌بارگذاری به کمک نرم‌افزار Plaxis 3D پرداخته شده است. روش تحلیل حساسیت انتخابی برای این منظور، استفاده از روش مستقیم مبتنی بر سعی و خطای می‌باشد. با توجه به تعدد پارامترهای دخیل در مسئله، ابتدا تحلیل حساسیت برروی پارامترهای لایه‌های مختلف ژئوتکنیکی مربوط به هر خاکریز انجام می‌شود تا مؤثرترین پارامترها در مقدار نشست و زمان تحکیم تعیین شوند و سپس با توجه به آنالیزهای برگشتی پارامترهای حاصل از آن محاسبه خواهد شد.

فرایند انجام مطالعات حساسیت پارامترهای ژئوتکنیکی بدین صورت بوده است که در گام اول

$$\text{Error} = \frac{\sum_{K=1}^N (U_k - U'_k)^2}{\sum_{K=1}^N U'_k} \quad (4)$$

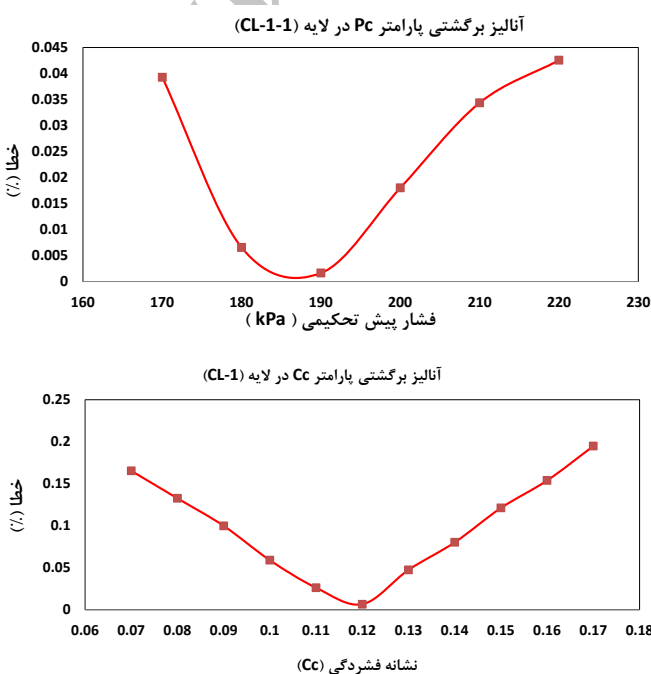
در این رابطه U_k مقدار جابه‌جایی محاسبه شده از طریق تحلیل عددی در نقاط متناظر و U'_k جابه‌جایی اندازه‌گیری شده در نقطه ابزار دقیق و N تعداد نقاط اندازه‌گیری می‌باشد.

در این تحقیق از متوسط داده‌های ابزارهای نصب شده در خاکریز EM-2B که به صورت روزانه و هفتگی برداشت شده‌اند، استفاده شده است. مطابق شکل‌های (۱۵) و (۱۶) آنالیز برگشتی با روش کمینه‌سازیتابع خطا برای پارامترهای مؤثر تحکیمی انجام گردیده است. همان‌طور که مشخص است برای خاکریز EM-2B، تابع خطا برای پارامترهای نشانه فشردگی (C_c) و فشار پیش‌تحکیمی (P_c) به ترتیب در لایه‌های CL-1-1 و CL-1-2 به ترتیب در مقادیر ۰/۱۲ و ۰/۱۹ کیلوپاسکال کمینه شده است. همچنین مقدار ضریب افقی نفوذپذیری در لایه (CL-2) برابر ۰/۰۲۱ متر در روز به دست امده است.

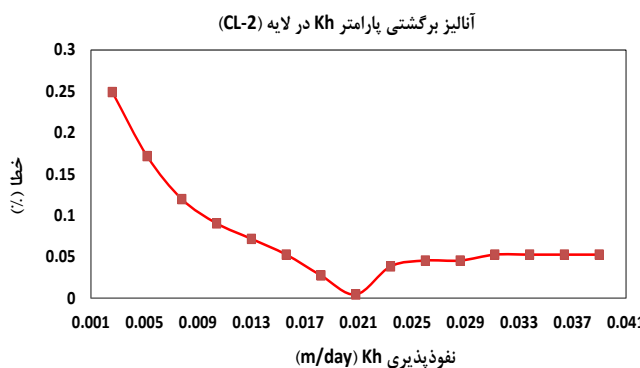
آمده نشان می‌دهد که پارامتر نفوذپذیری درجهت افقی (K_h) در لایه دوم (CL-2) که دارای بیشترین شبیه تغییرات درجه تحکیم می‌باشد به عنوان حساس‌ترین پارامتر در زمان پدیده تحکیم (شکل ۱۴-الف) می‌باشد و مطابق شکل (۱۴-ب) پارامتر C_c (نشانه فشردگی) در لایه رسی اول (CL-1) با توجه به افزایش شبیه تغییرات درجه تحکیم، حساس‌ترین پارامتر در مقدار نشست تحکیمی می‌باشد.

آنالیز برگشتی

پس از انجام تحلیل حساسیت در بخش قبل و مشخص نمودن مؤثرترین پارامترها در مقدار و زمان نشست تحکیمی خاکریزهای یادشده، در این بخش به آنالیز برگشتی (معکوس) از طریق کمینه‌سازی تابع خطا به منظور دست‌یابی به پارامتر بهینه و صحیح پرداخته شده است. در این راستا تابع خطا زیر به منظور کمینه‌سازی اختلاف اندازه‌گیری‌های انجام‌شده توسط ابزار دقیق و مقادیر محاسبه شده از طریق مدل‌سازی عددی معرفی شده است.



شکل ۱۵ نمودار کمینه‌سازی تابع خطا برای پارامترهای فشار پیش‌تحکیمی (P_c) و نشانه فشردگی (C_c) در لایه CL-1-1 ژئوتکنیکی در محل خاکریز EM-2B



شکل ۱۶ نمودار کمینه‌سازی تابع خطای پارامتر نفوذپذیری افقی (k_h) در لایه CL-2 در محل خاکریز EM-2B

جدول ۴ نتایج حاصل از آنالیز برگشتی پارامترهای تحکیمی در ناحیه سه ژئوتکنیکی در محل خاکریز EM-2B

K_h (CL-2) (m/day)	K_v (CL-2) (m/day)	C_f (CL-2)	C_c (CL-1)	P_c (CL-1-1) (kPa)	پارامترهای نشست تحکیمی
0.0026	0.0013	0.17	180	مقادیر پارامترهای اولیه پیشنهادی
0.021	0.0104	8	0.12	190	نتایج آنالیز برگشتی با استفاده از Plaxis 3D

برابر ۱۳۲ سانتی متر تخمین زده شده بود. لذا می‌توان دریافت که مقادیر نشست محاسباتی اولیه بر مبنای پارامترهای فرض شده بیشتر از نشست‌های اندازه‌گیری شده بوده است. می‌توان از دلایل کمتر شدن نشست‌های اندازه‌گیری شده نسبت به نشست‌های محاسباتی، به تعیین محافظه‌کارانه پارامترهای اولیه ژئوتکنیکی محاسبات نشست تحکیمی اشاره نمود.

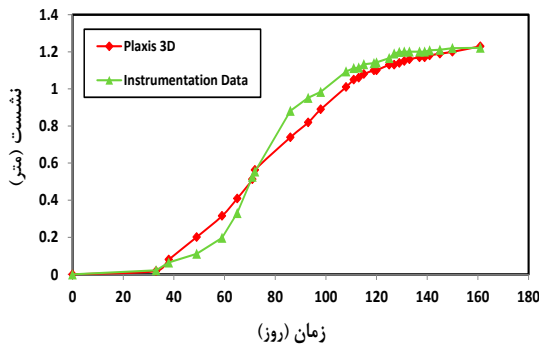
همچنین بهمنظور صحه‌گذاری بر نتایج مدل عددی، مدل‌سازی خاکریز موردنظر در نرم‌افزار Plaxis 3D (بر مبنای پارامترهای اصلاح شده خاک) با متوسط نتایج ابزار دقیق نشست‌سنج‌ها و پیزومترها مورد مقایسه قرار گرفته است. شکل‌های (۱۷) و (۱۸) مقایسه مقادیر نشست و فشار آب حفره‌ای در طول مدت زمانی ۱۶۱ روز برای خاکریز EM-2B از شروع بارگذاری را نشان می‌دهند. همان‌طور که مشاهده می‌شود نتایج مدل‌سازی عددی هم خوانی قابل قبولی با نتایج ابزار دقیق دارد.

پس از انجام مطالعات عددی و آنالیزهای حساسیت پارامترهای خاک در لایه‌های مختلف ژئوتکنیکی، مطابق نتایج بدست آمده از آنالیز معکوس در جدول (۴)، مقدار C_f (نسبت نفوذپذیری افقی محل به آزمایشگاه) در لایه CL-2 برابر حاصل شده است. به عبارت دیگر ضریب نفوذپذیری صحیح حاصل از آنالیز برگشتی ابزار دقیق در حدود هشت‌بار بیشتر از ضریب نفوذپذیری بدست آمده از مقادیر پارامترهای طراحی اولیه و بر مبنای نتایج آزمایشگاهی قبل از عملیات پیش‌بارگذاری می‌باشد. درواقع این موضوع نشان می‌دهد که مقدار نفوذپذیری افقی واقعی خاک بسیار بیشتر از مقدار تخمین اولیه در محاسبات بوده است.

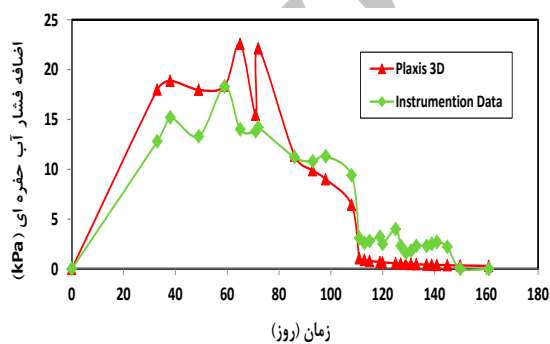
همچنین نتایج مطالعات عددی بر مبنای پارامترهای اصلاح شده حاصل از آنالیز برگشتی نشان می‌دهد که مقادیر نشست در مرکز خاکریز EM-2B در حدود ۱۲۲/۲ سانتی متر بدست آمده است در صورتی که مطابق طراحی‌ها و پیش‌بینی‌های اولیه انجام شده، این مقدار

خاکریزی طی مدت ۱۰۸ روز ادامه پیدا کرده و سپس در مدت زمان ۵۳ روز (زمان انتظار)، خاک واقع در زیر خاکریز EM-2B به ۹۵ درصد تحکیم خود رسیده است. در این مرحله نشت نهایی خاک ۱۲۲/۲ سانتی‌متر است و اضافه‌فشار آب منفذی به حداقل مقدار خود رسیده است که این موضوع نشانگر پایان زمان تحکیم خاک می‌باشد.

لازم به ذکر است که در مراحل مدل‌سازی علاوه بر خاکریزی، خاکبرداری خاکریزها به صورت باربرداری در مدل‌سازی عددی لحاظ شده است تا شرایط واقعی پژوهه به خوبی شبیه‌سازی شود. مطابق شکل (۲۰)، در این مرحله خاک به مقدار کمی دچار تورم است و با برداشتن خاکریزها از مقدار نشت نهایی کاسته شده و پس از برداشتن کل خاکریز (EM-2B) میزان نشت خاک به مقدار ۱۰۲ سانتی‌متر رسیده است که این موضوع بیانگر تورم خاک پس از برداشتن خاکریز می‌باشد. پس جمع‌آوری خاکریز و پایان تورم نهایی خاک، مقدار تغییر مکان مدل صفر شده و درادامه به تبررسی نشت خاک در اثر قرارگیری مخزن Tank 403 پرداخته شده است. پس از ساخت مخزن یادشده در مدت زمان ۳۰ روز و قرارگیری آن بر روی خاک بهسازی شده، میزان نشت خاک پس از رسیدن به زمان تحکیم نهایی در نرم‌افزار Plaxis 3D به حدود ۹ سانتی-متر رسیده است. همچنین با توجه به نتایج بدست‌آمده از شکل (۲۰) مشاهده می‌شود که نشت خاک قبل از عملیات بهسازی در صورت ساخت مخزن Tank 403، پس از گذشت زمان تحکیمی، در حدود ۶۸ سانتی‌متر ایجاد شده است که این مقدار نشت نسبت موجب بروز مشکلات فراوان در بهره‌برداری و نیز ایجاد خسارت‌های جبران‌ناپذیری در این گونه مخازن می‌گردد. در شکل (۲۱) تصویر مراحل ساخت مخازن نفت در زمان‌های مختلف نشان داده شده است. از این‌رو، مطابق با نتایج حاصل، نیاز به بهسازی خاک و استفاده از سیستم پیش‌بارگذاری می‌تواند تأثیر بسیاری را در کاهش میزان نشت‌ها و بهبود عملکرد مخازن در حین بهره‌برداری از آنها داشته باشد.



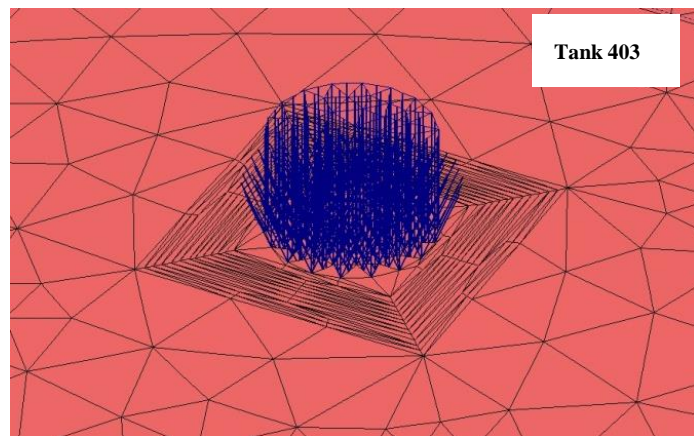
شکل ۱۷ مقایسه نمودار نشت خاکریز EM-2B در مدل‌سازی عددی و ارزاردقیق (نشست سنج)



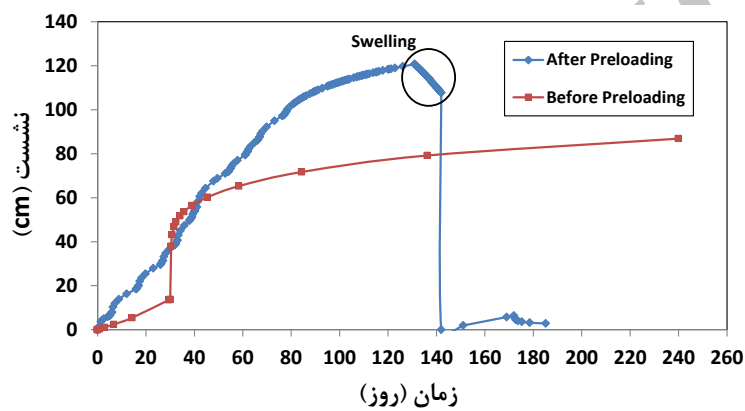
شکل ۱۸ مقایسه نمودار اضافه‌فشار آب حفره‌ای خاکریز EM-2B در مدل‌سازی عددی و ارزاردقیق (پیزومتر)

پیش‌بینی نشت مخزن نفت پس از اتمام عملیات بهسازی خاک

پس از دست‌یابی به پارامترهای اصلاح‌شده حاصل از آنالیزهای برگشتی، به مدل‌سازی مخزن نفت و قرارگیری آن بر روی خاک منطقه مورد نظر بهمنظور پیش‌بینی نشت‌های احتمالی ناشی از ساخت آن پس از اتمام عملیات پیش‌بارگذاری، پرداخته شده است. مخزن مورد نظر Tank 403 در محل خاکریز EM-2B دارای قطری معادل $53/64$ متر است که وزنی در حدود ۳۲۹۶۹ تن را به خاک وارد می‌نماید. در شکل (۱۹) تصویر مدل‌سازی مخزن در نرم‌افزار Plaxis 3D نشان داده شده است. لازم به ذکر است که مخزن مورد نظر با استفاده از تعریف یک بار فشاری معادل در نرم‌افزار مدل شده است. در شکل (۲۰) نتایج میزان نشت خاک پس از اعمال بار مخازن قبل و بعد از پیش‌بارگذاری ارائه شده است. با توجه به این نمودار



شکل ۱۹ مدل‌سازی مخزن ۴۰۳ در برنامه Plaxis ۳D



شکل ۲۰ نمودار نشست خاک قبل و بعد از پیش‌بارگذاری خاکریز EM-2B در نرم‌افزار Plaxis ۳D



شکل ۲۱ مراحل ساخت مخازن نفت در زمان‌های مختلف پروژه

بر مبنای نتایج آزمایش‌های آزمایشگاهی و صحرابی بوده است. همچنین پارامترهای دیگر نشت تحکیمی نظری شاخص تراکم (C_c) و فشار پیش تحکیمی خاک (P_c) بر مبنای نتایج بدست آمده از آنالیز معکوس مقادیر متفاوتی نسبت به پارامترهای اولیه طراحی داشته‌اند.

^۳ شبیه‌سازی عددی مخزن نفت (Tank 403) در محل خاکریز (EM-2B) نشان می‌دهد که نشت خاک قبل از عملیات بهسازی در صورت ساخت مخزن و پس از گذشت زمان تحکیمی در حدود ۶۸ سانتی‌متر ایجاد می‌شود که بعد از عملیات پیش‌بارگذاری و قرارگیری مخزن این نشت به حدود ۹ سانتی‌متر کاهش یافته است. از این‌رو، مطابق با نتایج حاصل نیاز به بهسازی خاک و استفاده از سیستم پیش‌بارگذاری می‌تواند تأثیر بسیاری در کاهش میزان نشت‌ها و بهبود عملکرد آنها به خصوص در پرتوهای بزرگ و در خاک‌های ریزدانه در حین بهره‌برداری از مخازن نفت شود.

مطالعات تحقیق حاضر نشان می‌دهد که اطمینان به پارامترهای اولیه خاک حاصل از نتایج آزمایشگاهی (به خصوص آزمایش‌های تحکیم یک‌بعدی) و صحرابی می‌تواند منجر به خطای در پیش‌بینی طراحی و اجرای مابقی خاکریزها شود. لذا استفاده از ابزارگذاری و تجزیه و تحلیل نتایج آنها، تجربه‌ای مؤثر در کاهش هزینه‌ها و زمان‌بندی پرتوهای مشابه خواهد بود.

تشکر و قدردانی

نویسنده‌گان بر خود واجب می‌دانند که بدین وسیله مراتب تشکر و قدردانی را از مؤسسه مهندسان مشاور ساحل برای در اختیار گذاشتن اطلاعات مربوط به این پژوهش داشته باشند.

جمع‌بندی و نتیجه‌گیری

استفاده از بهسازی خاک به‌روش پیش‌بارگذاری در خاک‌های رسی نرم یکی از اقتصادی‌ترین و کاراترین روش‌های موجود می‌باشد. لذا در این مقاله به مدل‌سازی عددی عملیات بهسازی خاک به‌روش پیش‌بارگذاری با خاکریز به همراه زهکش‌های شعاعی پیش‌ساخته (PWD) در پروژه انبار نفت ماهشهر (مطالعه موردی) پرداخته شده است. به‌منظور مدل‌سازی روند عملیات پیش‌بارگذاری و مقایسه آنها با نتایج ابزارگذاری از نرم‌افزار اجزای محدود Plaxis 3D استفاده شده است. نتایج نشت‌های مدل عددی با مقادیر نتایج ابزار دقیق کالیبره شده و با استفاده از آنالیز برگشتی داده‌های ابزار دقیق، مهم‌ترین پارامترهای صحیح نشت تحکیمی تأثیرگذار خاک به‌دست آمده است. همچنین میزان نشت تخمینی خاک قبل و بعد از پیش‌بارگذاری در اثر احداث مخازن نفت با یکدیگر مورد مقایسه قرار گرفته‌اند. از جمله نتایج بدست آمده در این پژوهش می‌توان به موارد زیر اشاره نمود:

۱. مقادیر نشت ثابت‌شده با استفاده از نتایج متوسط ابزارگذاری در خاکریز EM-2B برابر $122/2$ سانتی‌متر به‌دست آمده است در صورتی که مقدار نشت محاسباتی اولیه براساس نتایج آزمایش‌های آزمایشگاهی و صحرابی اولیه در مرکز خاکریز-EM-2B برابر 132 سانتی‌متر به‌دست آمده است که نشان از محافظه‌کارانه بودن مقادیر پارامترهای خاک و به‌دبیال آن میزان نشت محاسباتی نسبت به مقادیر اندازه‌گیری شده اولیه می‌باشد.

۲. با توجه به نتایج حاصل از تحلیل حساسیت و آنالیز برگشتی، پارامتر C_c (نسبت نفوذپذیری خاک در محل به نفوذپذیری آزمایشگاه) برای خاکریزهای EM-2B در حدود هشت برابر بیشتر از ضریب نفوذپذیری به‌دست آمده از مقادیر پارامترهای اولیه

مراجع

۱. استاماتوپولوس، آریس و پاناگیوتیس، کوتزیاس، «اصلاح خاک از طریق پیش‌بارگذاری»، سعید متظرالقائم، مؤسسه بین‌المللی زلزله‌شناسی و مهندسی زلزله، (۱۳۷۸).
۲. Federal Highway Administration (FHWA), "Prefabricated Vertical Drains, Vol. I, *Engineering Guidelines*" Report No. RD-86/168, pp. 1-128 (1986).
۳. Bhushan, K., Carlos V., Saaty, R., "Soil Improvement by Precompression at a Tank Farm Site in Central Java, Indonesia", *Journal of Geotechnical Engineering*, Vol. 3, pp. 101-108, (2000).
۴. Indraratna, B. and Redana, I W., "Laboratory determination of smear zone due to vertical drain installation", *J. Geotechnical and Geoenvironmental Eng.*, ASCE, Vol. 125, No. 1, pp. 96-99, (1998).
۵. Indraratna B, Rujikiatkamjorn C, Sathananthan I, Shahin M and Khabbaz H., "Analytical and Numerical Solutions for Soft Clay Consolidation using Geosynthetic Vertical Drains with Special Reference to Embankments", *Proceedings of the 5th International Geotechnical Engineering Conference*, Cairo, Egypt, pp. 55–86, (2005).
۶. Sathananthan, I. and Indraratna, B., "Laboratory Evaluation of Smear Zone and Correlation between Permeability and Moisture Content", *Journal of Geotechnical and Geoenvironmental Engineering (ASCE)*, Vol.132, No. 7, pp. 942–945, (2006).
۷. Saowapakpiboon, J., D.T. Bergado , Youwai, S., Chai, J.C., Wanthon, P., Voottipruex, P., "Measured and Predicted Performance of Prefabricated Vertical Drains (PVDs) with and without Vacuum Preloading", *Geotextiles and Geomembranes*, Vol. 28, No. 1, pp. 1-11, (2010).
۸. Rujikiatkamjorn, Ch., Indraratna, B., and Chu, J., "Numerical Modelling of Soft Soil Stabilized by Vertical Drains, Combining Surcharge and Vacuum Preloading for A Storage Yard", *Can. Geotech. J.*, Vol. 44, No. 3, pp. 326–342, (2007).
۹. Dhar, AS., Siddique, A., and Amen, SF., "Ground Improvement using Preloading with Prefabricated Vertical Drains", *International Journal of Geoengineering Case Histories*, Vol. 2, No. 2, pp. 86, (2011).
۱۰. Tedjakusuma, B., "Application of Prefabricated Vertical Drain in Soil Improvement", *Civil Engineering Dimension*, Vol. 14, No.1, pp. 51-56, (2012).
۱۱. Bergado, D.T., Voottipruex, P., Lam, L.G., Hino, T., "Back-analyses of Flow Parameters of PVD Improved soft Bangkok Clay with and Without Vacuum Preloading from Settlement Data and Numerical Simulations", *Geotextiles and Geomembranes*, Vol. 42, No. 5, pp. 457-467, (2014).
۱۲. Gia Lam, L., Bergado, D.T., Hino, T., "PVD Improvement of Soft Bangkok Clay with and Without Vacuum Preloading using Analytical and Numerical Analyses", *Geotextiles and Geomembranes*,

- Vol.43, No. 6, pp. 547-557, (2015).
13. Plaxis 3D Foundation (version 1.6) user's Manual. Edited by Brinkgreve, R.B.J. Delf University of Technology and PLAXIS b.v., The Netherlands, (2005).
14. Biot, M., "General Theory of Three-dimensional Consolidation", *Journal of Applied Physics*, Vol. 12, pp.155-164, (1941).
15. Chai J.C, Shen S.L, Miura N.and Bergado D.T., "Simple Method of Modeling PVD Improved Subsoil", *Journal Journal of Geotechnical Engoneering*, ASCE, Vol.127, No.11, PP. 956-972, (2001).

Archive of SID

Archive of SID